



Федеральное государственное автономное образовательное учреждение высшего образования  
САНКТ-ПЕТЕРБУРГСКИЙ НАЦИОНАЛЬНЫЙ ИССЛЕДОВАТЕЛЬСКИЙ УНИВЕРСИТЕТ ИТМО

Факультет систем управления и робототехники

Лабораторная работа №5  
**СВЯЗЬ НЕПРЕРЫВНОГО И ДИСКРЕТНОГО**

Студент: Овчинников П.А.  
Поток: ЧАСТ.МЕТ. 1.3  
Преподаватель: Перегудин А.А.  
Пашенко А.В.

Санкт-Петербург  
2024

## Содержание

<b>Непрерывное и дискретное преобразование Фурье</b>	<b>3</b>
Истинный Фурье-образ . . . . .	3
Численное интегрирование . . . . .	3
Использование DFT . . . . .	6
Выводы о работе trapz и DFT . . . . .	6
Приближение непрерывного с помощью DFT . . . . .	7
<b>Сэмплирование</b>	<b>8</b>
Сэмплирование синусов . . . . .	8
Сэмплирование sinus cardinalis . . . . .	10

## Непрерывное и дискретное преобразование Фурье

Рассмотрим уже знакомую нам прямоугольную функцию единичного масштаба:

$$\Pi(t) = \begin{cases} 1, & |t| \leq 1/2, \\ 0, & |t| > 1/2. \end{cases}$$

Сейчас мы опробуем на ней различные варианты Фурье-преобразования и выясним, чем они отличаются между собой, какой быстрее, какой точнее и как совместить достоинства разных подходов вместе.

### Истинный Фурье-образ

Известно, что истинное Фурье-преобразование прямоугольной функции равно:

$$\hat{\Pi}(v) = \int_{-\infty}^{\infty} \Pi(t) e^{-2\pi i v t} dt = \int_{-1/2}^{1/2} e^{-2\pi i v t} dt = \frac{e^{-\pi i v} - e^{\pi i v}}{2\pi i v} = \frac{\sin \pi v}{\pi v} = \text{sinc}(v)$$

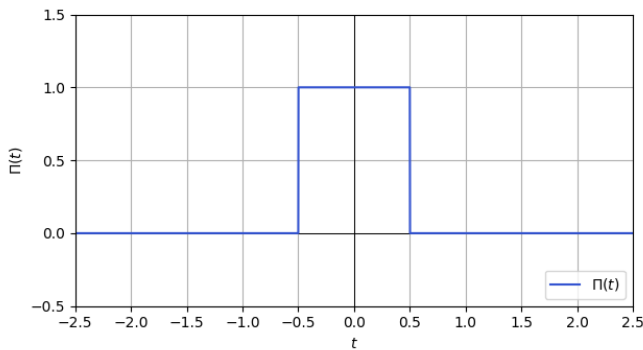


Рис. 1: График функции  $\Pi(t)$

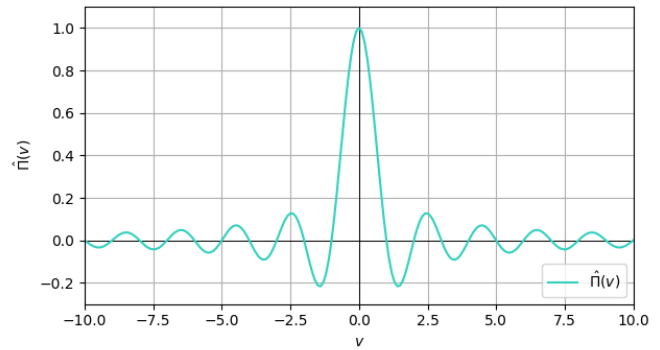


Рис. 2: График истинного Фурье-образа  $\hat{\Pi}(v)$

### Численное интегрирование

Для численного интегрирования воспользуемся функцией `trapz` из библиотеки `numpy`. Метод подразумевает, что мы интегрируем по ограниченному промежутку и с заданным шагом интегрирования. Начнём с промежутка  $T = 20$  и разбиения на 1000 точек. Вычислим Фурье-образ  $\hat{\Pi}_N(v)$  методом численного интегрирования:

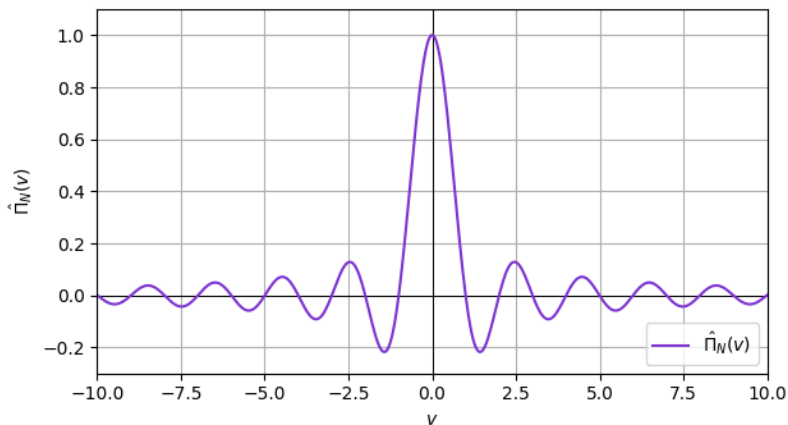


Рис. 3: График численного Фурье-образа  $\hat{\Pi}_N(v)$  при  $T = 20$  и  $N = 1000$

Как видим, график численного Фурье-образа  $\hat{\Pi}_N(v)$  внешне совпадает с истинным Фурье-образом  $\hat{\Pi}(v)$ , но только внешне.

Выполним обратное преобразование Фурье и посмотрим на результат:

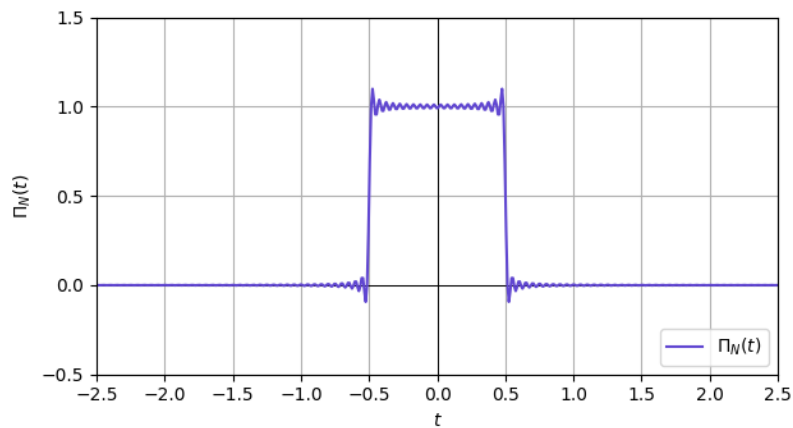


Рис. 4: График восстановленной из численного Фурье-образа функции  $\Pi_N(t)$  при  $T = 20$  и  $N = 1000$

Возникает эффект Гиббса, который проявляется в виде колебаний вблизи точек разрыва. Это связано с тем, что мы интегрировали по конечному промежутку, а не по всей числовой прямой. Попробуем увеличить промежуток интегрирования до  $T = 90$ :

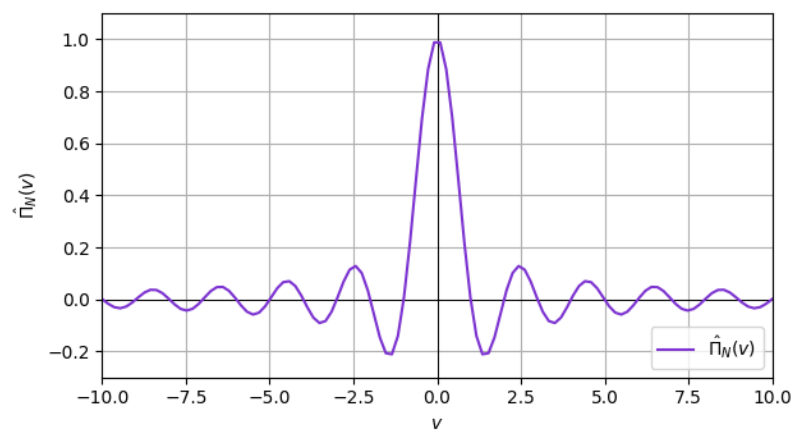


Рис. 5: График численного Фурье-образа  $\hat{\Pi}_N(v)$  при  $T = 90$  и  $N = 1000$

Промежуток вырос, а то же количество точек равномерно распределилось по большему промежутку — это понижает точность в вычислении интеграла. На изгибах кардинального синуса наблюдаются неровности.

Теперь посмотрим на восстановленную функцию:

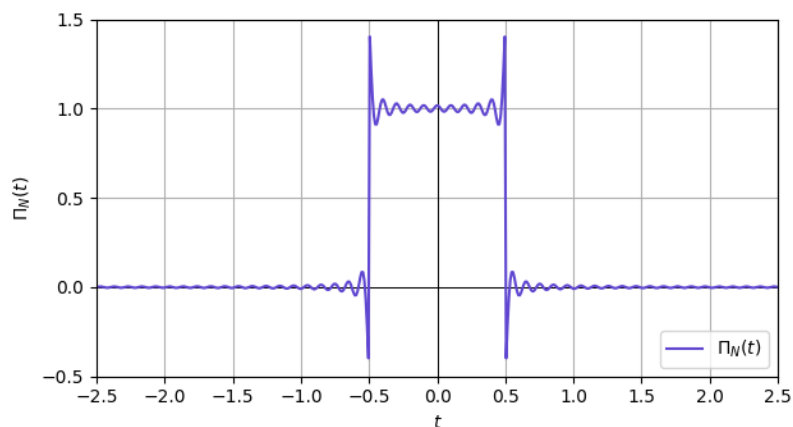


Рис. 6: График восстановленной из численного Фурье-образа функции  $\Pi_N(t)$  при  $T = 90$  и  $N = 1000$

Ввиду того, что мы увеличили промежуток интегрирования, но не увеличили количество точек, на графике восстановленной функции колебания усилились, ведь гораздо больше высокочастотных гармоник было упущено в образе Фурье.

Теперь увеличим количество точек до  $N = 10000$ :

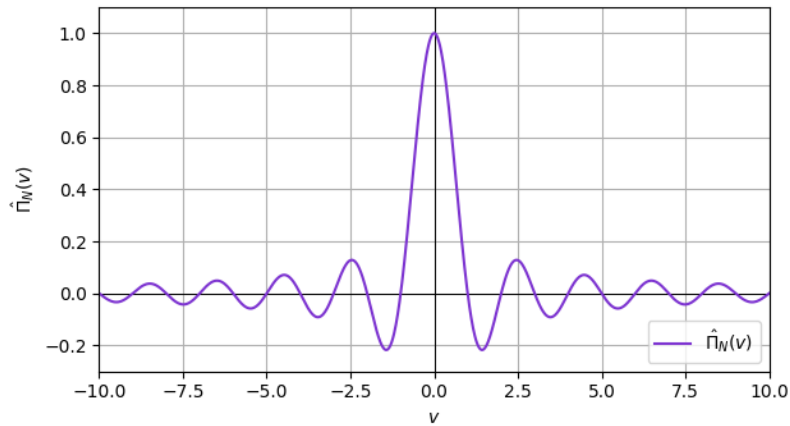


Рис. 7: График численного Фурье-образа  $\hat{\Pi}(v)$  при  $T = 90$  и  $N = 10000$

Кривая образа снова стала гладкой — вновь восстановим из образа прямоугольную функцию путём обратного преобразования Фурье:

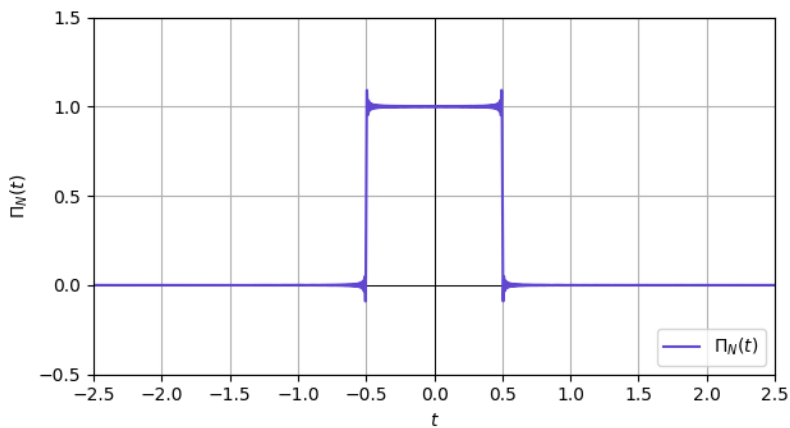


Рис. 8: График восстановленной из численного Фурье-образа функции  $\Pi_N(t)$  при  $T = 90$  и  $N = 10000$

Амплитуда колебаний на границах разрыва уменьшилась, но они всё равно присутствуют, как ни крути. Что может сказать код на Python о быстродействии такого метода?

```
1 trapz #1: 3.07 s
2 trapz #2: 1.16 s
3 trapz #3: 19.98 s
```

### Вывод:

Метод `trapz` работает медленно. При 1000 точек он работает около 2 секунд, а при 10000 точек — уже 20 секунд. При этом метод достаточно точный, но плохо работает с функциями, имеющими разрывы первого рода.

## Использование DFT

Попробуем воспользоваться дискретным преобразованием Фурье. Для этого нам понадобится функция `fft` из библиотеки `numpy`. Эта функция реализует быстрое преобразование Фурье, которое математически описывается так:

$$F(k) = \sum_{m=0}^{N-1} f(m) \exp\left\{-2\pi i \frac{mk}{N}\right\} \leftrightarrow f(m) = \frac{1}{N} \sum_{k=0}^{N-1} F(k) \exp\left\{2\pi i \frac{mk}{N}\right\}$$

$$F(k) = \frac{1}{\sqrt{N}} \sum_{m=0}^{N-1} f(m) \exp\left\{-2\pi i \frac{mk}{N}\right\} \leftrightarrow f(m) = \frac{1}{\sqrt{N}} \sum_{k=0}^{N-1} F(k) \exp\left\{2\pi i \frac{mk}{N}\right\}$$

Чтобы преобразование стало унитарным, нам потребовалось разбить множитель  $1/N$  в обратном преобразовании на два  $1/\sqrt{N}$  — это сохранит норму сигнала. В `numpy.fft` достаточно указать параметр `norm='ortho'`, чтобы преобразование стало унитарным.

Возьмём разбиение на 10000 точек и проведём преобразование Фурье нашей прямоугольной функции и посмотрим на график образа при таком преобразовании:

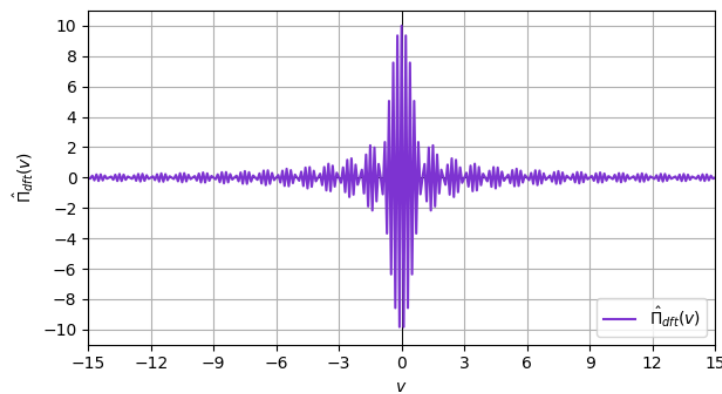


Рис. 9: График дискретного Фурье-образа  $\hat{\Pi}(v)$

Это мало похоже на истинный Фурье-образ. Попробуем восстановить из него прямоугольную функцию:

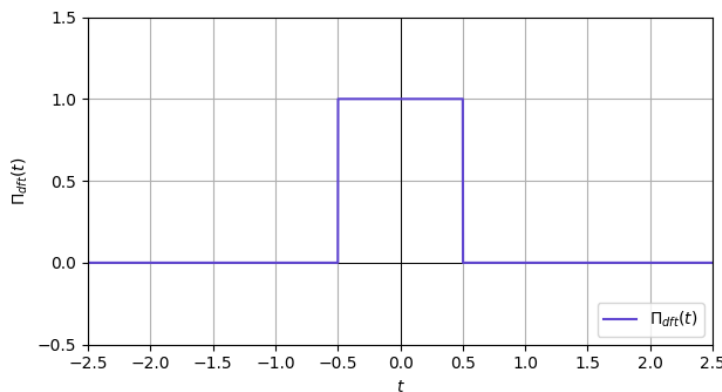


Рис. 10: График восстановленной из дискретного Фурье-образа функции  $\Pi_N(t)$

Что удивительно, восстановленная функция выглядит ровно так же, как и исходная. При этом код на Python показывает следующие результаты:

```
1 dft: 0.64 s
```

### Вывод:

Метод DFT работает быстро и точно. При 10000 точек он работает около 1 секунды. Это более чем в 30 раз быстрее, учитывая равное количество точек с третьим испытанием метода `trapz`. При этом метод хорошо работает с функциями, имеющими разрывы первого рода. Но с Фурье-образом что-то пошло не так.

## Выводы о работе `trapz` и DFT

Приблизиться к истинному Фурье-образу смог только метод `trapz`, но он работает медленно и неустойчив к разрывам. Метод `numpy.fft` работает быстро и точно, но его образ сильно отличается от истинного. С чем это связано?

Как следует из названия, метод `trapz` аппроксимирует интегрирование, разбивая площадь на маленькие трапеции шириной в  $dt$ , площадь которых вычислять проще. Для интегрирования с  $N + 1$  равномерно расположенными точками аппроксимация работает так:

$$\int_a^b f(x) dx \approx \frac{1}{2} \sum_{n=1}^N (x_{n+1} - x_n) (f(x_n) + f(x_{n+1})) = \frac{b-a}{2N} \sum_{n=1}^N (f(x_n) + f(x_{n+1})), \quad \frac{b-a}{N} \sim (x_{n+1} - x_n) \sim dt$$

Формула с коэффициентом  $1/2$  — для случаев, когда расстояние между точками не фиксированное. Если оно фиксированное, как в случае с преобразованием Фурье, то используется вторая формула.

Метод `numpy.fft` работает по-другому. Он преобразует сигнал в пространство частот, где каждая гармоника имеет свой вес. При этом важно, чтобы сигнал был периодичен, иначе возникнут артефакты. В нашем случае прямоугольная функция не является периодичной, поэтому и образ Фурье отличается от истинного. Формулы унитарного дискретного преобразования были приведены в предыдущем пункте.

## Приближение непрерывного с помощью DFT

Попробуем переиграть метод `numpy.fft` и всё же приблизить истинный Фурье-образ  $\hat{P}(v)$  с помощью дискретного преобразования Фурье. Рассмотрим интеграл Фурье-преобразования:

$$F(v) = \frac{1}{\sqrt{2\pi}} \int_{-\infty}^{\infty} f(t) e^{-2\pi i v t} dt$$

Аппроксимируем его с помощью суммы Римана — для этого введём замену  $t = m\Delta t + t_0 \Rightarrow dt = \Delta t$ :

$$F(v) \approx \frac{1}{\sqrt{N}} \sum_{m=0}^{N-1} f(m\Delta t + t_0) e^{-2\pi i v (m\Delta t + t_0)} \Delta t = \frac{1}{\sqrt{N}} \Delta t e^{-2\pi i v t_0} \sum_{m=0}^{N-1} f(m\Delta t + t_0) e^{-2\pi i v m \Delta t}$$

Для частот введём замену  $v_k = k\Delta v = k/N\Delta t$ , а т.к.  $t_0$  и  $\Delta t$  постоянные, то введём замену  $f[n] = f(n\Delta t + t_0)$ :

$$F(v_k) \approx \frac{1}{\sqrt{N}} \Delta t e^{-2\pi i v t_0} \sum_{m=0}^{N-1} f[n] e^{-2\pi i v_k m \Delta t} = \frac{1}{\sqrt{N}} \Delta t e^{-2\pi i v t_0} \sum_{m=0}^{N-1} f[n] e^{-2\pi i \frac{k m}{N}}$$

Как ни странно, мы получаем формулу для дискретного преобразования Фурье, но с домножением на фазовый коэффициент  $\Delta t e^{-2\pi i v t_0}$ . Назовём такое преобразование `cdft`. Проведём его на прямоугольной функции:

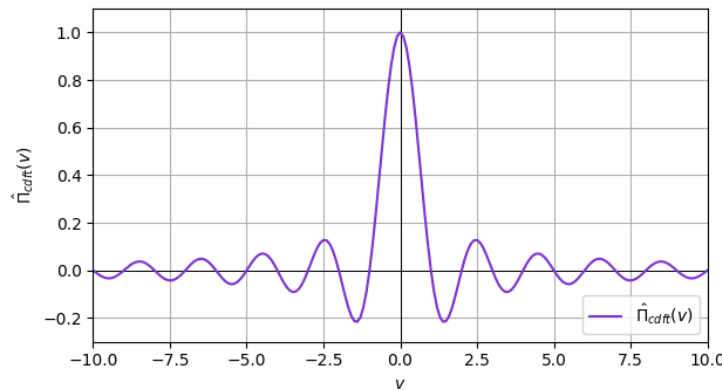


Рис. 11: График приближённого Фурье-образа  $\hat{P}_{cdft}(v)$

Действительно получаем гладкую кривую, похожую на истинный Фурье-образ.

Попробуем восстановить из него прямоугольную функцию:

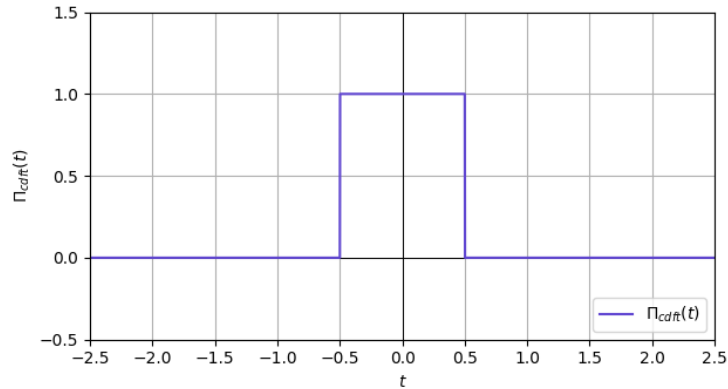


Рис. 12: График восстановленной из приближенного Фурье-образа функции  $\Pi_{cdf}(t)$

Восстановленная функция выглядит так же, как и исходная. При этом код на Python показывает следующие результаты:

```
1 cdf: 0.63 s
```

#### Вывод:

Проведя некоторые преобразования, мы смогли лишить метод DFT недостатков и приблизить его к истинному Фурье-образу. При этом метод остался быстрым и точным и всё так же отлично работает с функциями, имеющими разрывы первого рода.

## Сэмплирование

Исследуем теорему Найквиста-Шеннона-Котельникова, которая гласит, что для безошибочного восстановления сигнала из образа, взятого по дискретным данным, на отрезке  $[-B, B]$  необходимо, чтобы шаг дискретизации  $\Delta t$  подчинялся условию  $\Delta t < 1/(2B)$ . Мы рассмотрим два разных сигнала: сумму двух синусоид и кардинальный синус.

Для восстановления сигнала из его дискретного образа будем пользоваться интерполяционной формулой:

$$f(t) = \sum_{n=-\infty}^{\infty} f[n] \operatorname{sinc}(2B(t - t_n)), \quad t_n = \frac{n}{2B}$$

### Сэмплирование синусов

Рассмотрим первую функцию — сумму синусоид, зададимся параметрами  $a_1 = 1$ ,  $\omega_1 = 2$ ,  $\varphi_1 = 3$ ,  $a_2 = 4$ ,  $\omega_2 = 5$ ,  $\varphi_2 = 6$ . Так выглядит график функции:

$$y(t) = a_1 \sin(\omega_1 t + \varphi_1) + a_2 \sin(\omega_2 t + \varphi_2) = \sin(2t + 3) + 4 \sin(5t + 6)$$

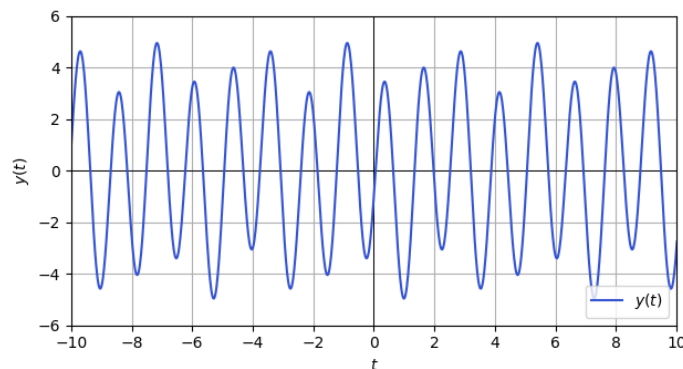


Рис. 13: График  $y(t)$



Теперь проведём сэмплирование сигнала с шагом  $\Delta t = 1/8$ :

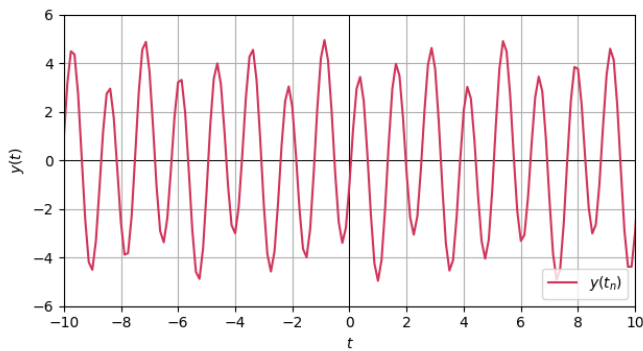


Рис. 14: График сэмплированного сигнала  $y(t_n)$

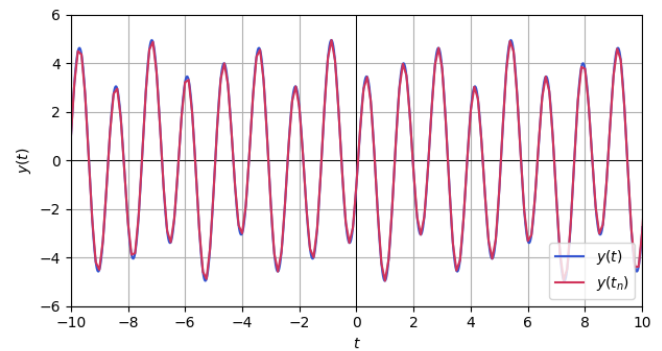


Рис. 15: Сравнительный график  $y(t)$  и  $y(t_n)$

На сравнительном графике не сильно заметна разница между сигналами, поэтому слева дополнительно приведен график сэмплированного сигнала отдельно. Теперь попробуем интерполяцией восстановить сигнал по сэмплированному образцу с  $B = 4$ :

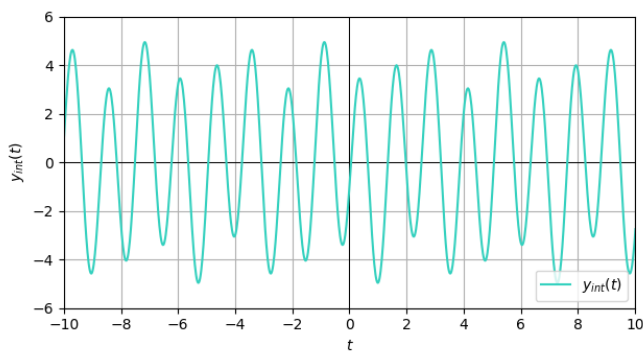


Рис. 16: График восстановленного сигнала  $y_{int}(t)$

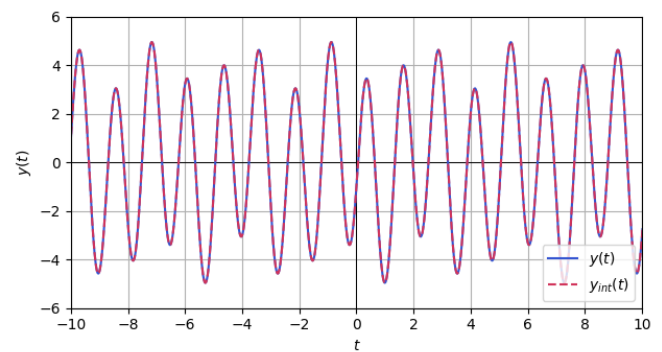


Рис. 17: Сравнительный график  $y(t)$  и  $y_{int}(t)$

Восстановленный сигнал идентичен исходному. Это связано с тем, что  $\Delta t = 1/8 = 1/(2B)$ .

Теперь увеличим шаг сэмплирования до  $\Delta t = 1/4$ :

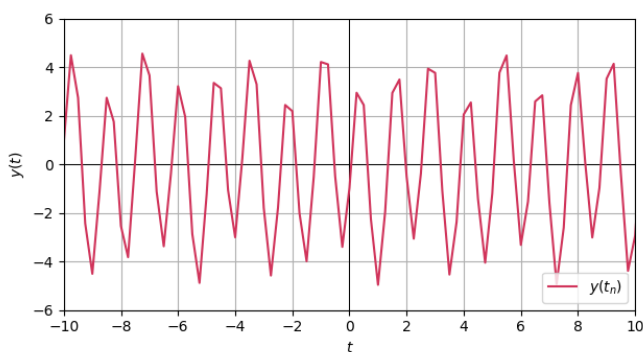


Рис. 18: График сэмплированного сигнала  $y(t_n)$

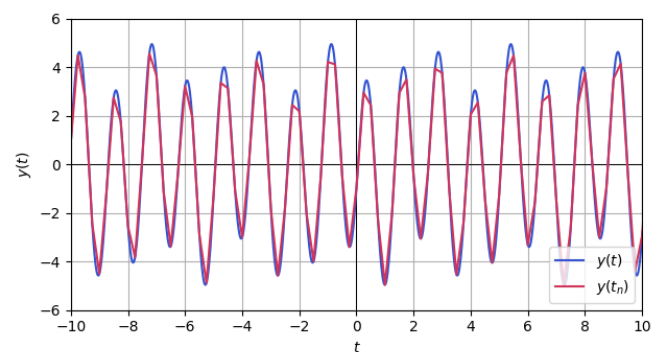
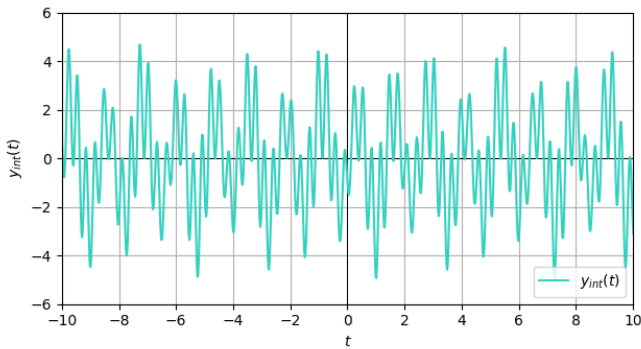
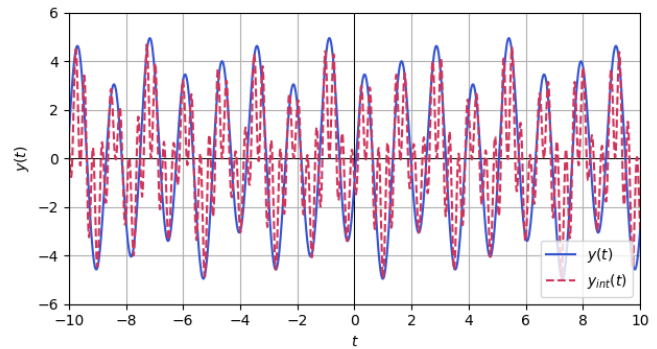


Рис. 19: Сравнительный график  $y(t)$  и  $y(t_n)$

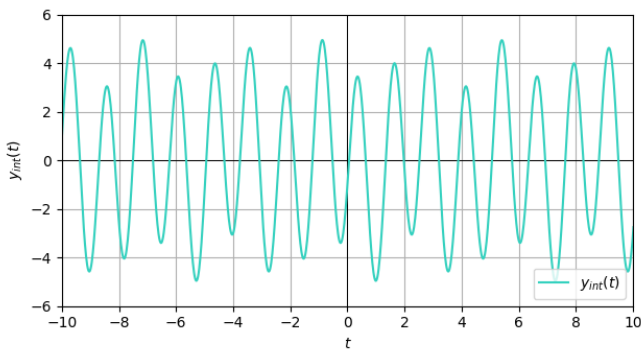
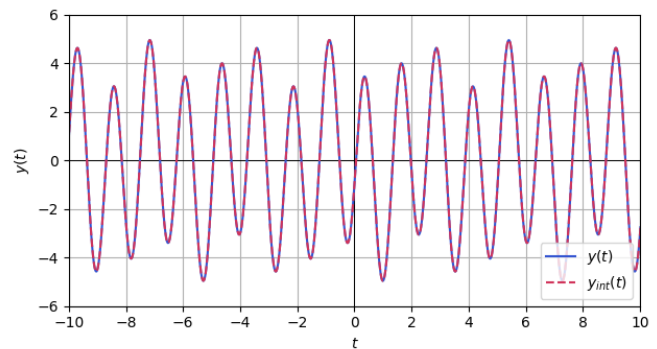
Теперь разница между сигналами заметна на сравнительном графике.

Попробуем восстановить сигнал по сэмплированному образцу с тем же значением  $B$ :

Рис. 20: График восстановленного сигнала  $y_{int}(t)$ Рис. 21: Сравнительный график  $y(t)$  и  $y_{int}(t)$ 

Как мы видим, увеличение шага сэмплирования привело к тому, что формула интерполяции не сработала так, как должно — восстановленный сигнал отличается от исходного.

Чтобы это исправить, уменьшим  $B$  до 2 и попробуем ещё раз восстановить сигнал:

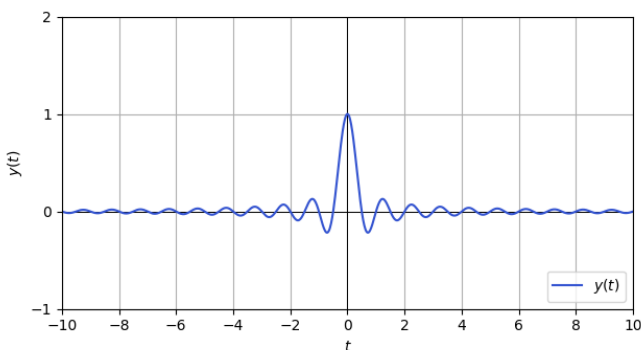
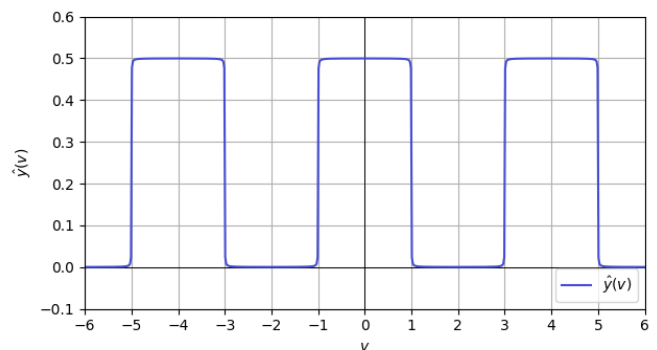
Рис. 22: График восстановленного сигнала  $y_{int}(t)$ Рис. 23: Сравнительный график  $y(t)$  и  $y_{int}(t)$ 

Теперь восстановить сигнал из сэмплированного удалось.

### Сэмплирование sinus cardinalis

Перейдём к сэмплированию и интерполяции кардинального синуса. Сначала зададимся параметром  $b = 2$  и функцией:

$$y(t) = \text{sinc}(bt) = \text{sinc}(2t)$$

Рис. 24: График  $y(t)$ Рис. 25: Фурье-образ  $y(t)$ 

Фурье-образ кардинального синуса, как и ожидалось, представляет собой прямоугольную функцию.

Оставим параметр  $B = 2$ , а шаг дискретизации установим  $\Delta t = 1/2$ . И вот так будет выглядеть сравнительный график исходного и сэмплированного сигналов:

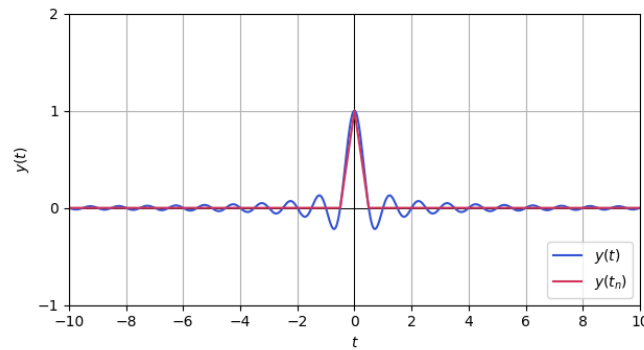


Рис. 26: Сравнительный график  $y(t)$  и  $y(t_n)$

Как мы видим, сэмплированный сигнал сведён к треугольной волне. Теперь попробуем восстановить сигнал:

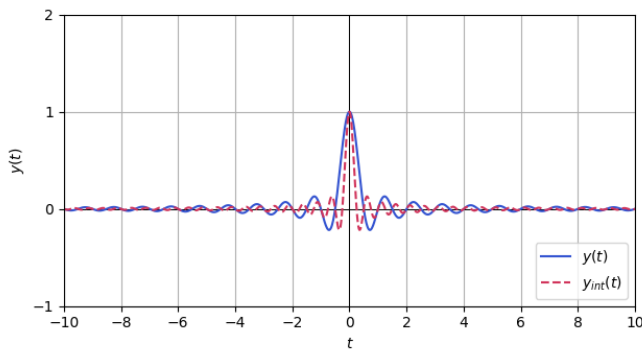


Рис. 27: Сравнительный график  $y(t)$  и  $y_{int}(t)$

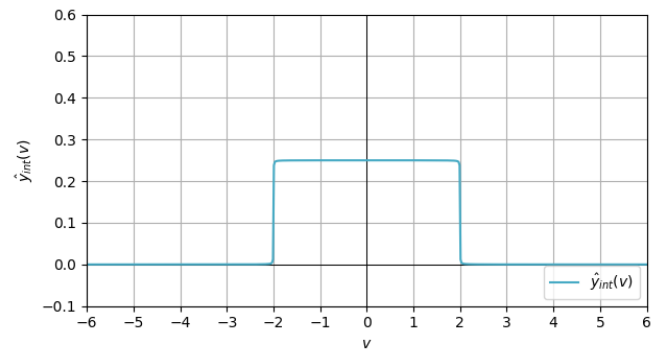


Рис. 28: Фурье-образ сигнала  $y_{int}(t)$

Как видим, интерполяция не сработала, и восстановленный сигнал отличается от исходного. Также и Фурье-образ восстановленного сигнала представляет собой прямоугольную функцию другой ширины и амплитуды. Чтобы это исправить, изменим шаг сэмплирования до  $\Delta t = 1/4$ :

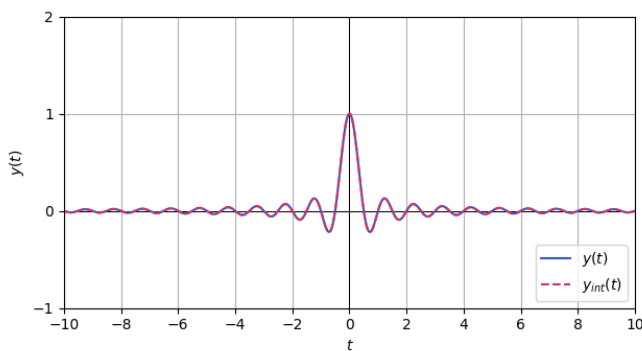


Рис. 29: Сравнительный график  $y(t)$  и  $y_{int}(t)$

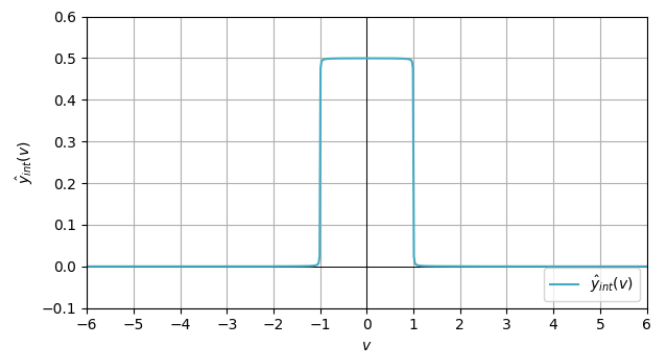


Рис. 30: Фурье-образ сигнала  $y_{int}(t)$

Восстановленный сигнал и его Фурье-образ идентичны исходному. Заметим, что прямоугольная волна только одна в образе и образ больше не периодичный.

### Вывод:

Мы исследовали теорему Найквиста-Шеннона-Котельникова на примере двух разных сигналов. Действительно, восстановить исходный сигнал получалось тогда, когда шаг дискретизации  $\Delta t$  был меньше  $1/(2B)$ . При этом образ Фурье восстановленного сигнала не периодичный, в отличие от образа Фурье исходного сигнала.